

BILAG 7

Implementering & Test

19. december 2017

Indholdsfortegnelse

Kapitel 1	Indledning	2
Kapitel 2	Implementering	3
2.1	Hardware	3
2.1.1	Instrumentationsforstærker 1	3
2.1.2	Strømgenerator	3
2.1.3	Instrumentationsforstærker 2	4
2.1.4	OP-AMP	5
2.1.5	Spektrumanalyse	5
2.1.6	AA filter	6
2.2	Software	7
2.2.1	Funktioner	8
2.2.1.1	Synkerefleksmonitor_OpeningFcn	8
2.2.1.2	Btn_Start_Measurment	8
2.2.2	Scripts	8
2.2.2.1	Start_GUI	8
2.2.2.2	Generate_SineWave	8
2.2.2.3	Read_Measurments	8
2.2.2.4	Process_Measurments	8
2.2.2.5	Show_Measurements	8
2.2.2.6	Save_Measurments	9
Kapitel 3	Modultest	10
3.1	Hardware	10
3.1.1	Instrumentationsforstærker 1	10
3.1.2	Strømgenerator	11
3.1.3	Instrumentationsforstærker 2	12
3.1.4	OP-AMP	13
3.1.5	Spektrumanalyse	14
3.1.6	AA filter	15
3.2	Software	16
Kapitel 4	Integrationstest	17
Kapitel 5	Accepttest	18
Litteratur		19

Indledning

1

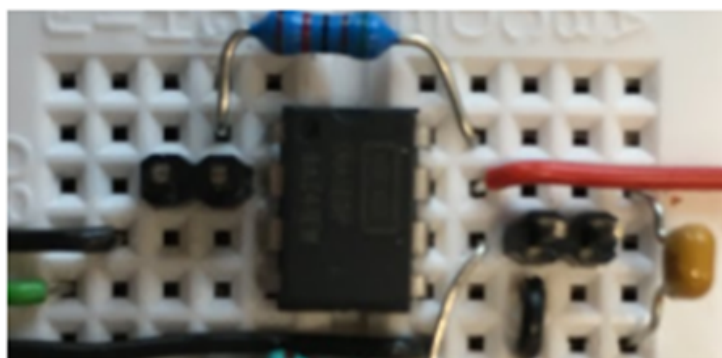
I dette bilag beskrives, hvordan de designede hardware og software-komponenter er implementeret og modultestet. På baggrund af disse designede enheder i designfasen foretages der nu implementering og modultest. Til implementering af hardware komponenter er der valgt at opbygge testkredsløbet på et fumlebræt. Hver af disse komponenter skal igennem en modultest for at verificere om de kan bruges til det tiltænkte formål. For softwarens vedkommende dokumenteres, hvordan kodeimplementeringen er foregået, samt resultatet af disse implementeringer. Formålet med modultesten er at forberede produktet til integrationstest.

Implementering 2

2.1 Hardware

2.1.1 Instrumentationsforstærker 1

Denne instrumentationsforstærker er tiltænkt til at forstærke et AC signal på 2V til 4V. Til dette formål er der anvendt instrumentationsforstærkeren INA128 med de begrundelser, som er angivet i designafsnittet. Figur 2.1 viser INA128 og en eksterne modstand, som bruges til at fastsætte den ønskede forstærkning.

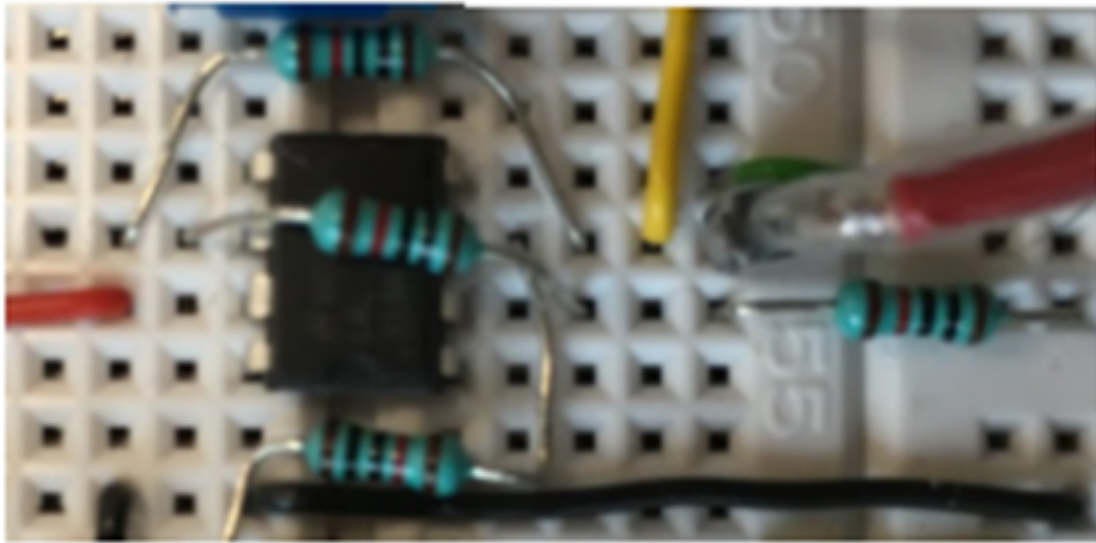


Figur 2.1: Figuren viser, hvordan INA128 er implementeret på et fumlebræt

2.1.2 Strømgenerator

Strømgeneratorens funktion er at levere en konstant strøm, som sendes til et måleobjektets væv. Til implementering af denne strømgenerator er der anvendt operationsforstærkeren LM318. Figur 2.2 viser komponenten LM318 med de tilhørende modstande.

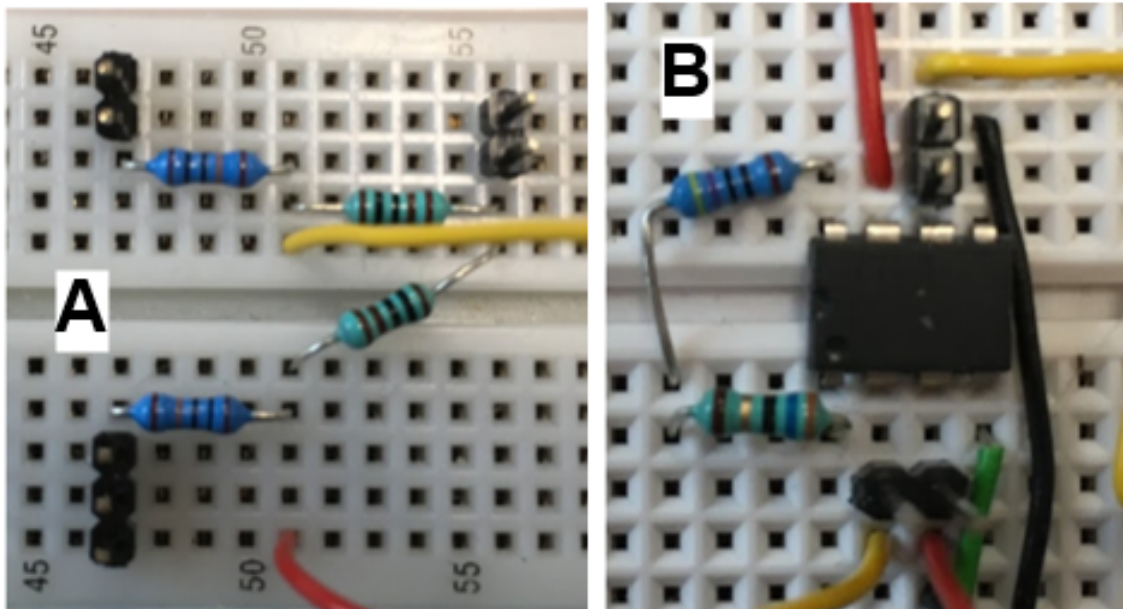
2.1. Hardware



Figur 2.2: Figuren viser, hvordan LM318 er implementeret på et fumlebræt

2.1.3 Instrumentationsforstærker 2

Instrumentationsforstærker 2 bliver brugt til at forstærke biosignal fra måleobjektets og undertrykkelse støj . Til implementering af denne Instrumentationsforstærker er der igen brugt INA128. Figur 2.3 B viser komponenten INA128 med dens tilhørende eksterne modstande. Figur 2.3 A viser en spændingsdeler kredsløb, der er benyttet til at teste instrumentationsforstærkeren. Hvorfor der anvendes en spændingsdeler til test af INA128 henvises der til bilag 6 "Design".

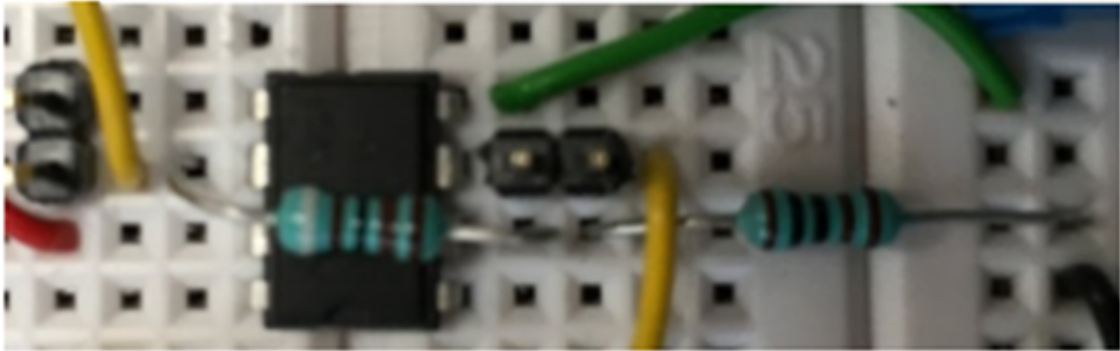


Figur 2.3: Figuren viser, hvordan LM318 er implementeret på et fumlebræt

2.1. Hardware

2.1.4 OP-AMP

Biosignalet fra måleobjektet forstærkes op i to trin. Det første trin benyttes Instrumentationsforstærker 2 og det andet trin anvendes operationsforstærkeren LM318, som forstærker signalet fra Instrumentationsforstærker 2 yderligere. Figur 2.4 viser implementering af LM318 og de to modstande, som fastsætter, hvor meget forstærkning man kan få ud af operationsforstærkeren.

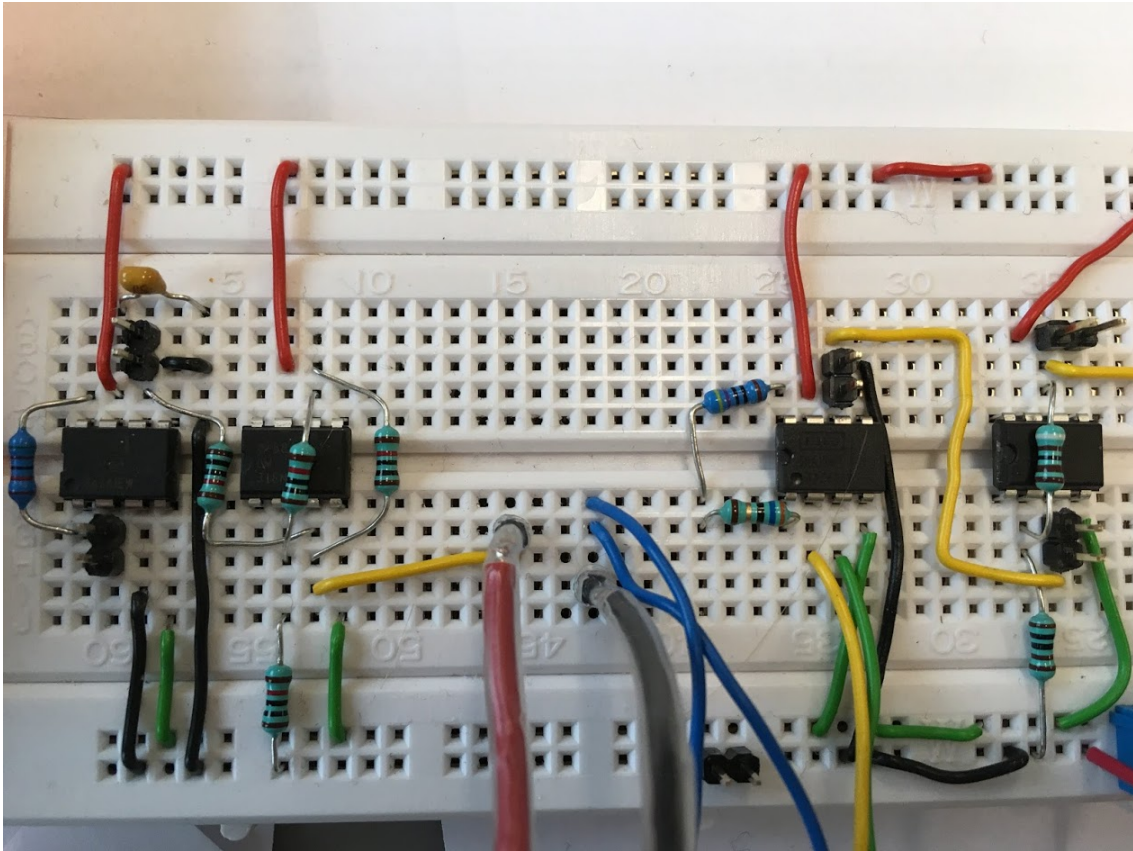


Figur 2.4: Figuren viser, hvordan LM318 er implementeret på et fumlebræt

2.1.5 Spektrumanalyse

Der er behov for at foretage en spektrumanalyse, med alle komponenter sat sammen, for at vurdere hvilket krav der skal være til AA filterets dæmpning.

2.1. Hardware

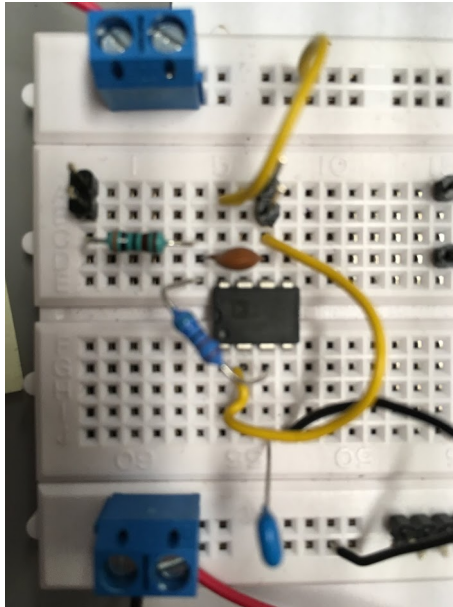


Figur 2.5: Billede over den samlede opstilling med komponenterne: Instrumentationsforstærker 1 & 2, strømgenerator, OP-AP og monteret elektroder. Disse komponenter repræsenterer det samlede frekvensspektrum.

2.1.6 AA filter

For at undgå aliasering i det optagede signal implementeres et anti-aliaseringsfilter foran Analog Discovery. AA filteret modtager et forstærkingsignal fra OPAMP, filtrerer det og sender det videre til Analog Discovery.

2.2. Software



Figur 2.6: Implementering af AA filter.

2.2 Software

I dette afsnit beskrives de vigtigste scripts for systemet software-del. Til implementering af disse funktioner er der brugt udviklingsværktøjet Matlab pga. følgende fordele:

- Matlab understøtter styring af Analog Discovery
- Matlab forærer databehandlingsfunktioner som ligger klar til anvendelse
- Matlab er god til at indlæse store mængde data med få kodelinjer
- I Matlab kan man udvikle en brugergrænseflade nemt og hurtigt
- Ved brug af Matlab med Analog Discovery, kan man betjene funktionsgeneratoren, dataopsamlingsenhed og brugergrænsefladen fra ét udviklingsværktøj.

Alternativet til ovennævnte fordele er at man bruger forskellige “single purpose” programmer og enheder, når man skal måle et biomedicinsk signal.

I det følgende gennemgås de kritiske funktioner for programmet.

2.2. Software

2.2.1 Funktioner

2.2.1.1 Synkereflexmonitor_OpeningFcn

2.2.1.2 Btn_Start_Measurment

2.2.2 Scripts

2.2.2.1 Start_GUI

```
1 handles.output = hObject;
2
3 set(handles.edit1,'String',datestr(datestr(now)));
4 myImage = imread('SynkBillede.PNG');
5 axes(handles.axes3);
6 imshow(myImage);
7
8
9
10
11 % Update handles structure
12 guidata(hObject, handles);
```

2.2.2.2 Generate_SineWave

Dette script håndterer generering af 2V AC signal ud af Analog Discovery.

```
1 function handles = Generate_SineWave(handles)
2 %UNTITLED4 Summary of this function goes here
3 % Detailed explanation goes here
4 s = daq.createSession('digilent'); % Opretter forbindelse til Analog Discovery
5
6 fgenBI = addFunctionGeneratorChannel(s, 'AD1', 1, 'Sine'); % Opsætning af kanal og waveform
7
8 fgenBI.Gain = 2; % Amplitude paa 2V
9
10 fgenBI.Frequency = 20000; % Frekvens paa 20 kHz
11
12 handles.GS = s;
13
14
15 end
```

2.2.2.3 Read_Measurments

```
1 function handles = Read_Measurments(handles)
2 s = handles.GS;
3 aiBI = addAnalogInputChannel(s, 'AD1', 1, 'Voltage');
4 aiEMG = addAnalogInputChannel(s, 'AD1', 2, 'Voltage');
5 s.Rate = 500000;
6 s.DurationInSeconds = 3;
7 [data, timestamps] = startForeground(s);
8
9 handles.data = data;
10 handles.timestamps = timestamps;
11
12 end
```

2.2.2.4 Process_Measurments

2.2.2.5 Show_Measurements

2.2. Software

```
1 function handles = Show_Measurements(handles)
2 %period = 1/fgenCh.Frequency;
3 subplot(2,1,1)
4 plot(handles.timestamps, handles.data(:,1),'k');
5 title('Bioimpedance')
6 ylabel('Impedance (ohm)');
7
8 subplot(2,1,2)
9 plot(handles.timestamps, handles.data(:,2),'k');
10 title('EMG')
11 xlabel('Time in seconds')
12 ylabel('Voltage (V)');
13
14 %axis([0 s.DurationInSeconds -5 15])
15 end
```

2.2.2.6 Save_Measurments

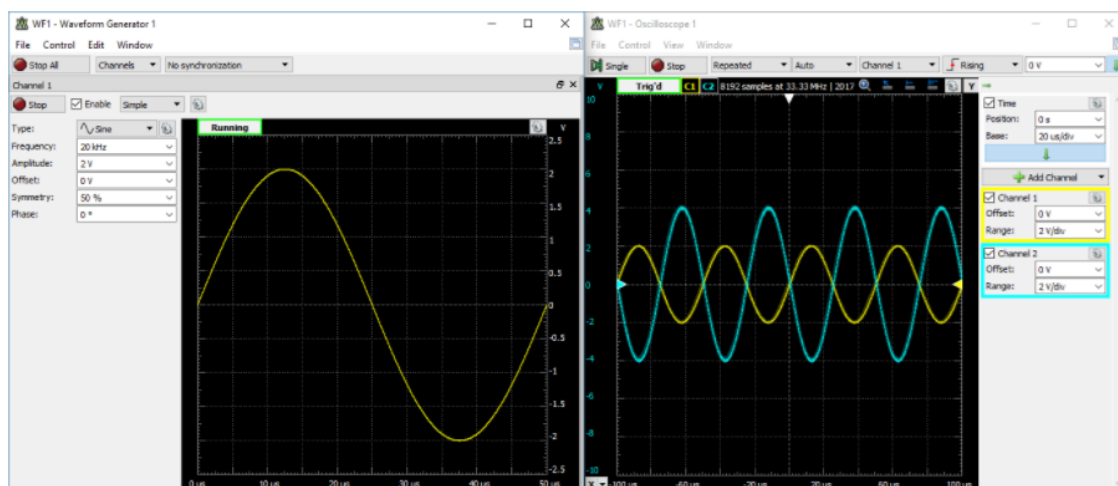
Modultest 3

Modultest af hardware-delen består af en simuleret test vha. Multisim og en praktisk test. Nogle komponenterne eksister ikke i Multisim og kræver at blive oprettet, men det er valgt at ikke bruge tid på det, da det er tidskrævende. Derfor præsenteres kun praktiske resultater for disse komponenter. I det følgende præsenteres testresultaterne for instrumentationsforstærker 1, 2, strømgeneratoren, operationsforstærkeren og AA filteret.

3.1 Hardware

3.1.1 Instrumentationsforstærker 1

Dette modul er testet ved at sende 2V/20kHz fra Analog Discovery (den gule kurve) igennem INA128. Det ses på figur 3.1 at de 2V bliver forstærket til 4V (turkis kurve) ved udgangen af INA128. Dette resultat stemmer overens med det beregnede resultat i designfasen.

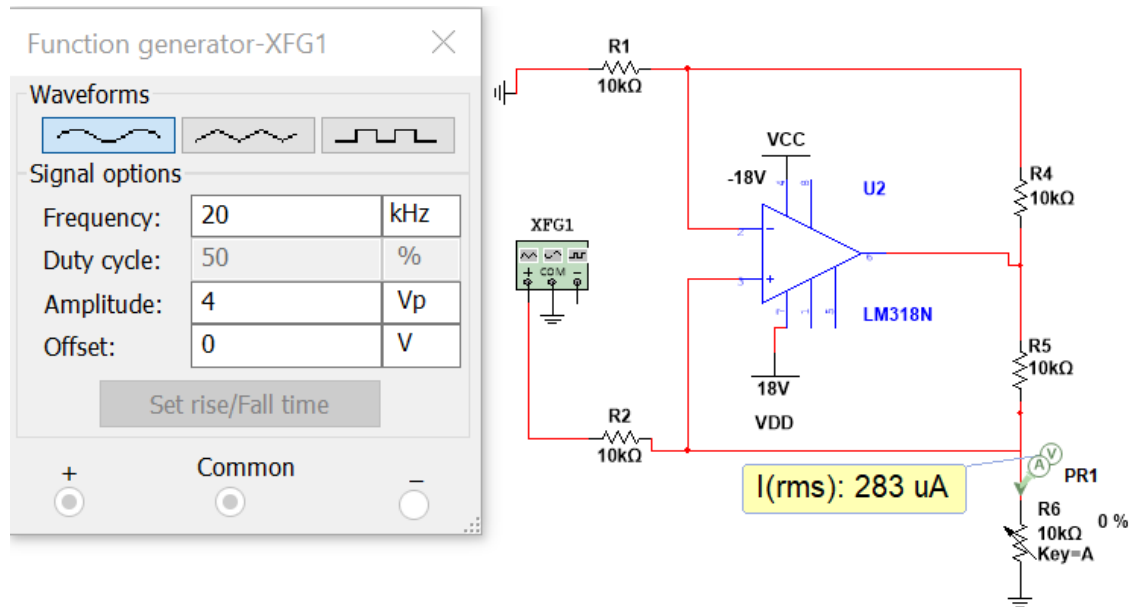


Figur 3.1: Figuren viser resultatet af INA128, som forstærker 2V til 4V

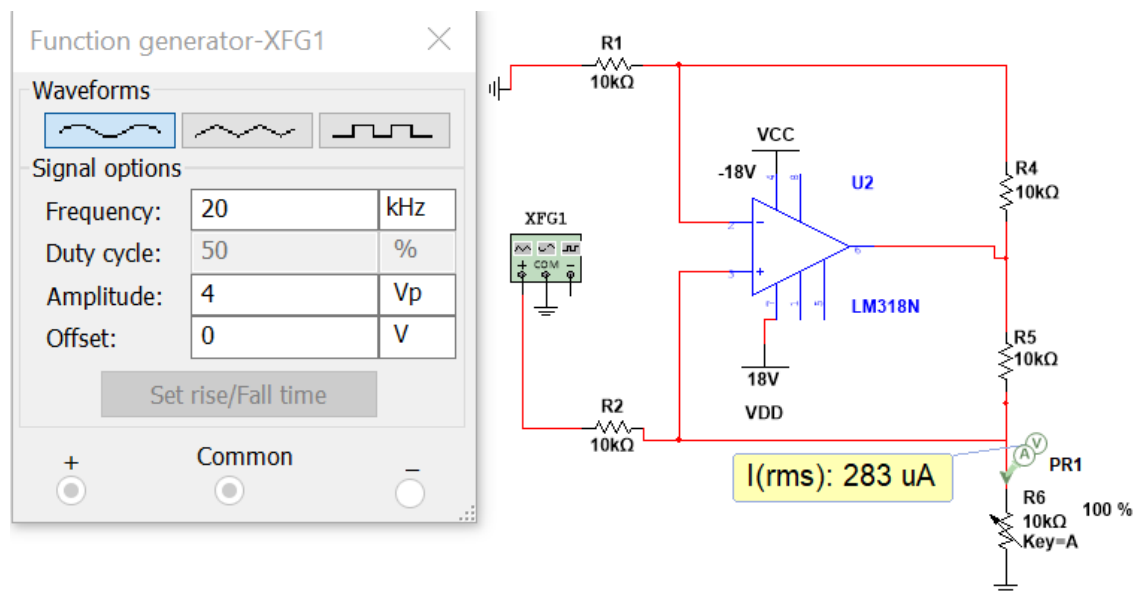
3.1. Hardware

3.1.2 Strømgenerator

Strømgeneratoren er simuleret ved at den får 4V fra en funktionsgenerator. På baggrund af denne spænding genereres der 283uA ud af strømgeneratoren. Bemærk at figur 3.2 viser strømudgangen ved no-load, hvorimod figur 3.3 viser når man belaster strømgeneratoren med $10k\Omega$.



Figur 3.2: Figuren viser det simuleret resultat for strømgeneratoren ved no-load

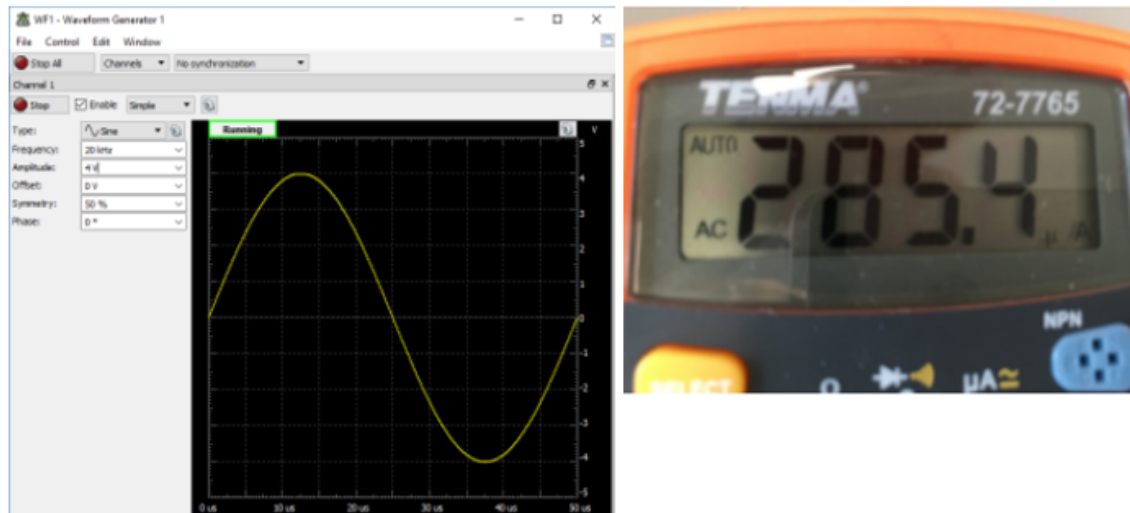


Figur 3.3: Figuren viser det simuleret resultat for strømgeneratoren med load på $10k\Omega$

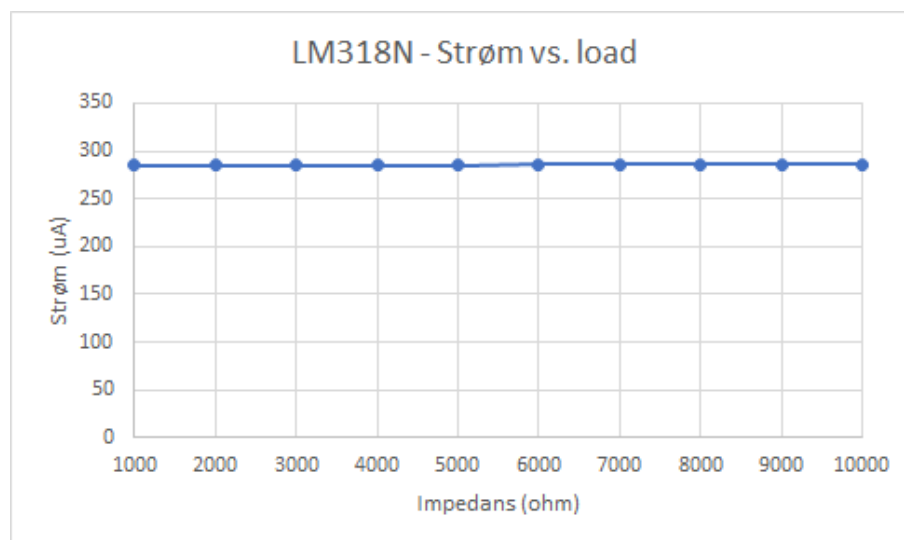
Det ses på figur 3.3 at strømmen ikke ændrer sig, selvom man belaster kredsløbet med $10k\Omega$.

3.1. Hardware

Tilsvarende sendes der 4V ind i strømgeneratoren, når der skal foretages den praktiske test på fumlebræt. De 4V genereres fra Analog Discovery. Den producerede strøm måles vha. et amperemeter i serie på udgangen af den anvendte operationsforstærker, LM318. Det ses på figur 3.4 at udgangsstrømmen, som genereres af strømgeneratoren er målt til 285uA. Dette resultat afviger lidt fra det beregnede og simulerede resultat. Det vurderes at afvigelsen er så lille at den ingen betydning har for måleobjektets sikkerhed. Figur 3.5 viser strømmens stabilitet fra 1 kΩ til 10 kΩ, hvilket svarer til området for load impedansen for et biologisk væv [1]. Derfor er det besluttet at arbejde videre med den målte strøm.



Figur 3.4: Figuren viser det praktisk strømresultat som er målt ved udgangen af strømgeneratoren.



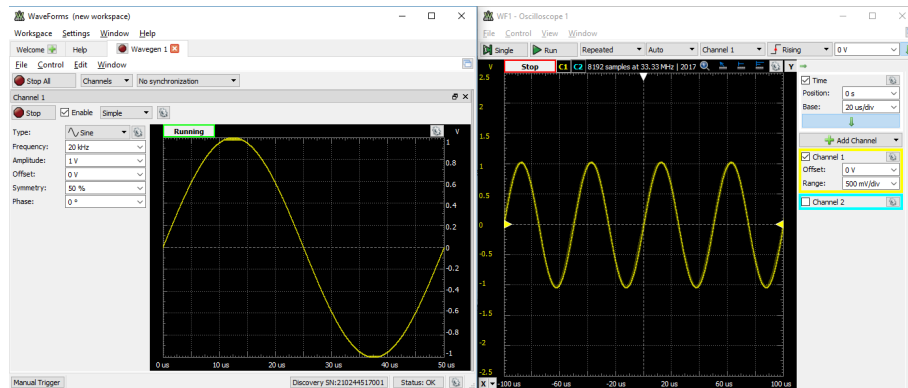
Figur 3.5

3.1.3 Instrumentationsforstærker 2

Til test af instrumentationsforstærker 2 er der benyttet en spændingsdeler, som får 1V fra en funktionsgeneratoren, Analog Discovery. Spændingsdelerens funktion er at reducere 1V til 10mV, som efterfølgende forstærkes af instrumentationsforstærker 2 med faktor 100

3.1. Hardware

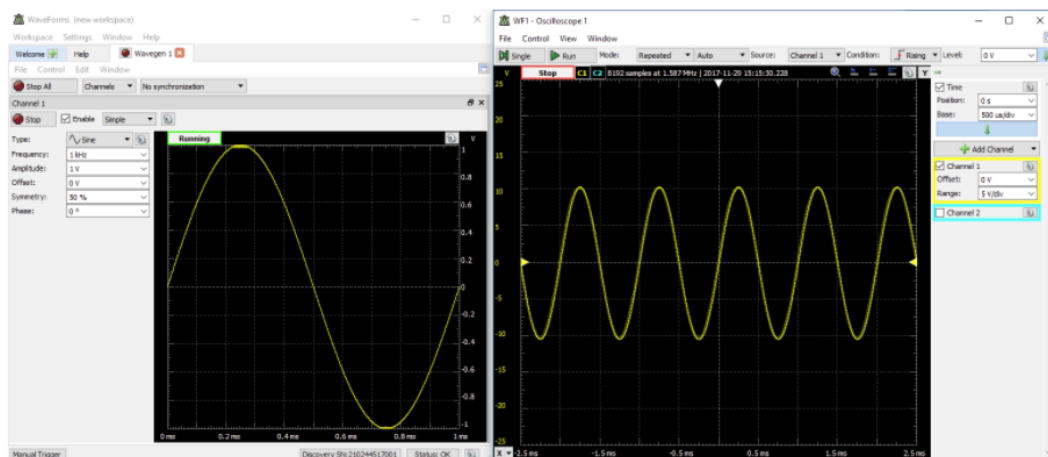
gange. Som figur 3.6 viser, kan man med instrumentationsforstærkeren INA128 opnå en forstærkning på 100. Dette resultat stemmer overens med det teoretiske resultat, som er beregnet i designfasen.



Figur 3.6: Figuren viser det praktiske udgangsspænding for INA128. Denne INA128 yder en forstærkning på 100 gange.

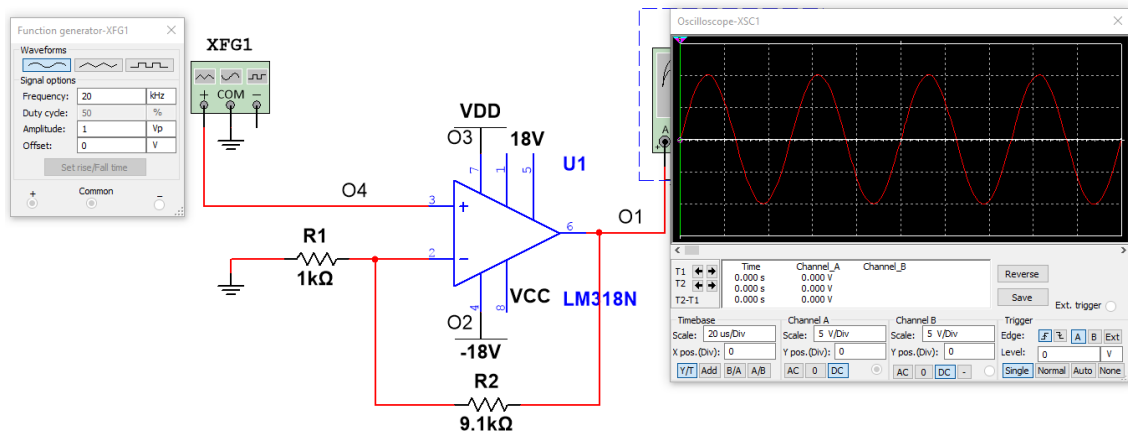
3.1.4 OP-AMP

Denne operationsforstærkers opgave er at forstærke 1 V til 10 V, dvs. en forstærkning ved faktor 10. Der sendes 1V fra funktionsgeneratoren, Analog Discovery, som derefter bliver forstærket til 10 V. Figur 3.7 viser at signalet fra funktionsgeneratoren bliver forstærket 10 gange, dvs. den målte udgangsspænding er på 10V. Hermed stemmer den målte og den teoretiske udgangsspænding af operationsforstærkeren LM318 med hinanden.



Figur 3.7: Figuren viser det praktiske udgangsspænding som er målt ved udgangen af operationsforstærkeren.

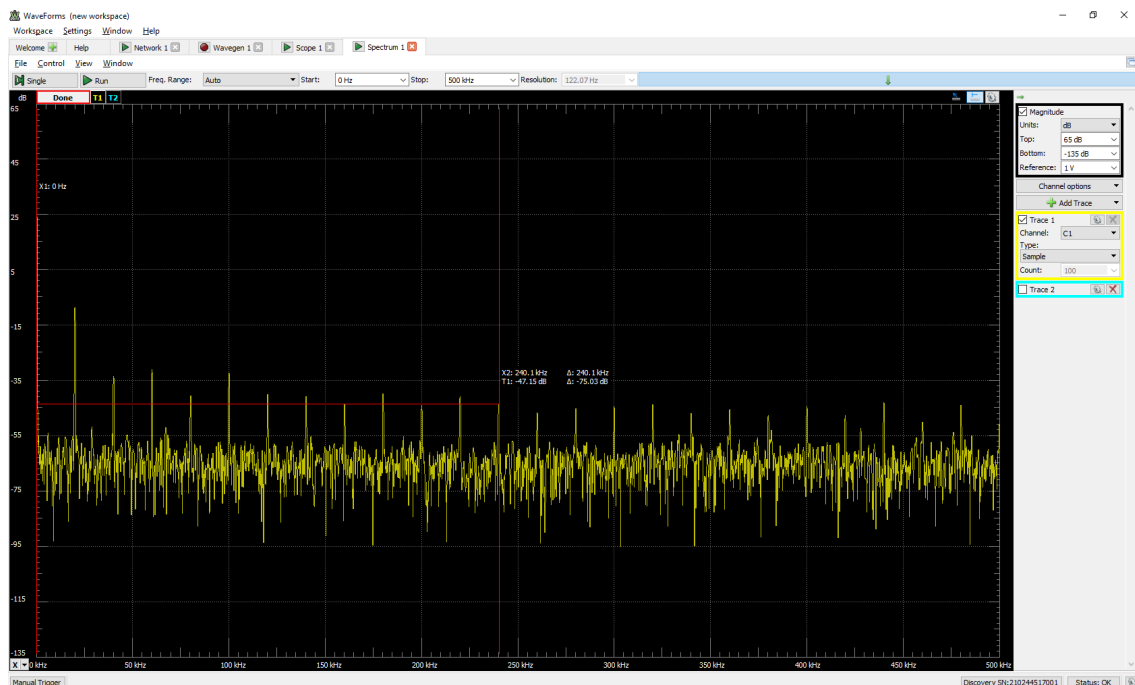
3.1. Hardware



Figur 3.8: Figuren viser det simuleret udgangsspænding som er målt ved udgangen af operationsforstærkeren.

3.1.5 Spektrumanalyse

Ved at sammensætte alle komponenter inkl. elektroder, kan spektrumanalysen blive optaget vha. Analog Discovery. Som det kan aflæses i figur 3.9, er der en dæmpning fra det samlede kredsløb på -75dB. Dette aflæses fra den højeste peak i passbåndet til ca. 250 kHz som er den halve samplingfrekvens. Da Analog arbejder med 14bit (skal dæmpe ned til -90dB) kræver det en yderligere dæmpning på ca. 15 dB. Dette kunne realiseres med et 1. ordens filter, men der vælges at benytte et 2. ordens filter, for at undgå de variationer der måtte være i passbåndet i det målte signal.

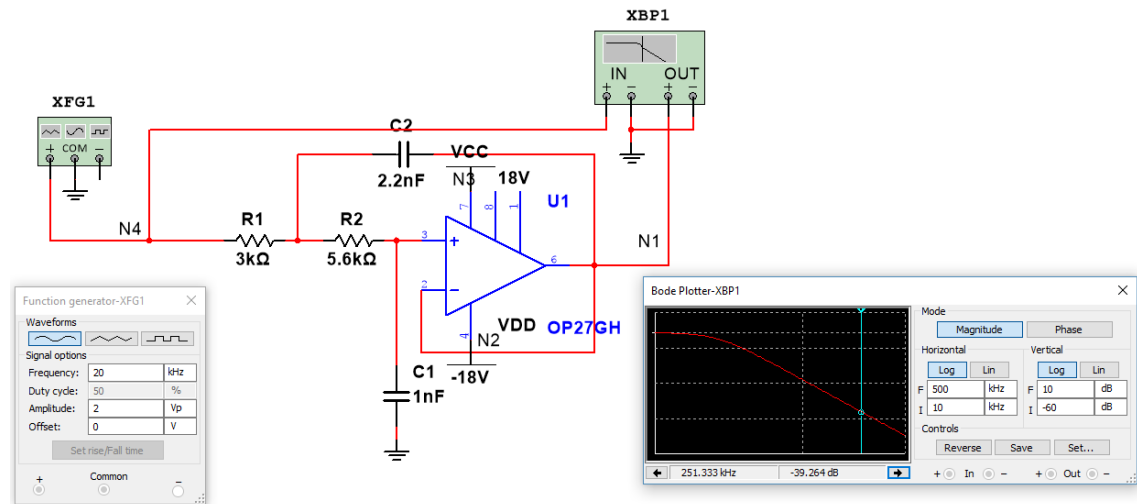


Figur 3.9: Det implementeret frekvensspektrum, som viser at der er en samlet dæmpning på ca. 75dB som skal yderligere dæmpes til 90dB med et 2.ordens lavpasfilter.

3.1. Hardware

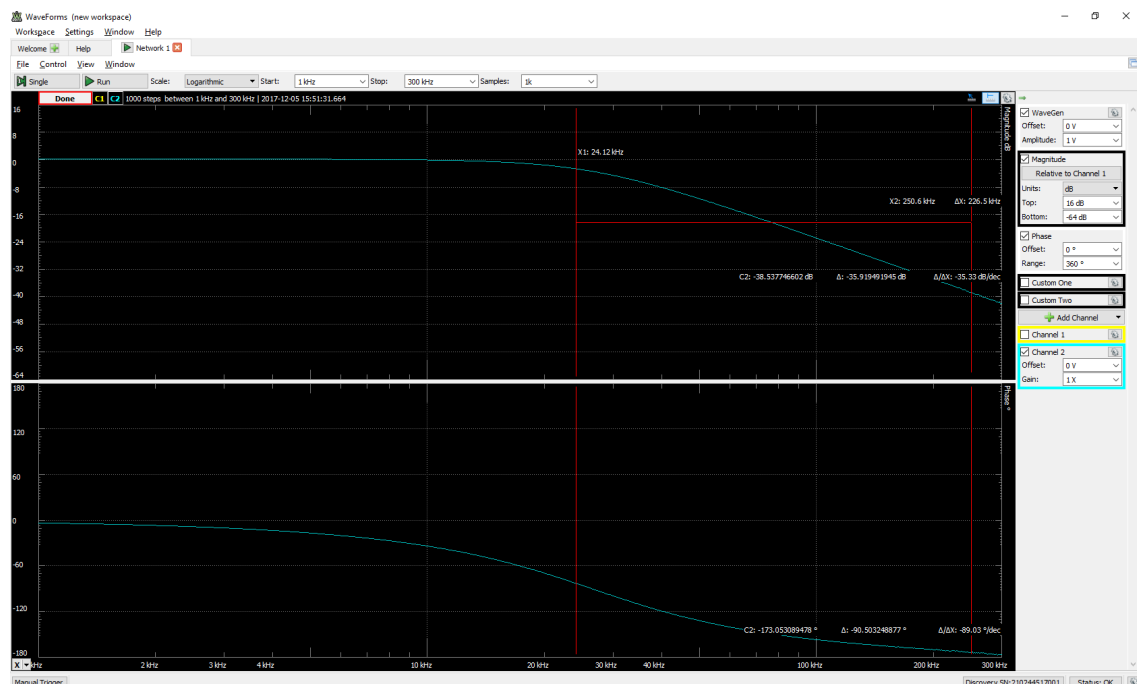
3.1.6 AA filter

Først er AA filteret simuleret i Multisim. Ved hjælp af Bode Plotter i Multisim, kan det aflæses at der er ved 250 kHz en dæmpning på 40 dB.



Figur 3.10: Resultat om filterets virkning simuleret i Multisim

Der er brugt værktøjet Network Analyzer i programmet Waveforms, for at teste filters virkning, hvilket resulterer i et bodeplot over dette se figur 3.11. Det kan konstateres at ved knækfrekvensen (25 kHz) er faseforskydningen ca. 90°. Efterfølgende kan det aflæses at ved knækfrekvensen og en dekade frem er der en dæmpning på ca. 35 dB.



Figur 3.11: Resultat om filterets virkning fra Network Analyzer i waveforms.

3.2. Software

3.2 Software

TEST SD'ets funktioner

Integrationstest 4

Accepttest 5

[2]

Litteratur

- [1] Christopher J Chester. Electrical-Impedance Biofeedback Instrument for Swallowing Rehabilitation. 2014.
- [2] Kevin R. Aroom, Matthew T. Harting, Charles S. Cox, Ravi S. Radharkrishnan, Carter Smith, and Brijesh S. Gill. Bioimpedance Analysis: A Guide to Simple Design and Implementation. *Journal of Surgical Research*, 153(1):23–30, 2009.